

На правах рукописи

ДЕМАКОВ Павел Андреевич

**МЕТАЛЛ-ОРГАНИЧЕСКИЕ КООРДИНАЦИОННЫЕ ПОЛИМЕРЫ С  
АЛИЦИКЛИЧЕСКИМИ МОСТИКАМИ: СТРОЕНИЕ, СИНТЕЗ И  
СВОЙСТВА**

02.00.01 – неорганическая химия

АВТОРЕФЕРАТ  
диссертации на соискание учёной степени  
кандидата химических наук

Научный руководитель:  
доктор химических наук, профессор РАН  
Дыбцев Данил Николаевич

Новосибирск – 2021

Работа выполнена в Федеральном государственном бюджетном учреждении науки Институте неорганической химии им. А.В. Николаева Сибирского отделения Российской академии наук (ИНХ СО РАН)

**Научный руководитель**

доктор химических наук, профессор РАН,  
заместитель директора ИНХ СО РАН  
**Дыбцев Данил Николаевич**

**Официальные оппоненты:**

доктор химических наук, профессор РАН, профессор кафедры физической химии химического факультета  
**Лысенко Константин Александрович**  
ФГБОУ ВО «Московский государственный университет имени М.В. Ломоносова»,  
г. Москва

кандидат химических наук, заведующий лабораторией  
**Казанцев Максим Сергеевич**

ФГБУН «Новосибирский институт органической химии им. Н.Н. Ворожцова»  
Сибирского отделения Российской академии наук,  
г. Новосибирск

**Ведущая организация**

ФГБУН «Институт металлоорганической химии им. Г.А. Разуваева» Российской академии наук, г. Нижний Новгород

Защита диссертации состоится «29» сентября 2021 года в 10-00 час.  
на заседании диссертационного совета 24.1.086.01  
на базе ИНХ СО РАН  
по адресу: просп. Акад. Лаврентьева, 3, Новосибирск, 630090

С диссертацией можно ознакомиться в библиотеке ИНХ СО РАН  
и на сайте <http://niic.nsc.ru/institute/dissertatsionnyj-sovet/>

Автореферат разослан «01» июля 2021г.

Ученый секретарь  
диссертационного совета  
доктор химических наук, доцент

А.С. Потапов

## **ОБЩАЯ ХАРАКТЕРИСТИКА РАБОТЫ**

**Актуальность темы исследования.** Металл-органические координационные полимеры (**МОКП**) являются активно исследуемым классом соединений в неорганической химии, химическом материаловедении и смежных областях. Возможность направленного дизайна структур, а также варьирования их свойств путём подбора металлоцентра и органических лигандов, открывает практически неограниченные перспективы получения функциональных материалов, обладающих управляемыми катализитическими, сорбционными, оптическими, сенсорными, магнитными свойствами. Количество публикаций, посвященных исследованию **МОКП**, исчисляется десятками тысяч в год и показывает непрерывно растущий интерес научного сообщества к этому классу соединений. На данном этапе умеренно проработаны методики «зелёного» и энергоэффективного синтеза **МОКП**, известен достаточно широкий набор дешевых и промышленно доступных исходных материалов, достигнуты рекордные значения удельных площадей поверхности и высокие показатели термической и химической стабильности, что позволяет считать координационные полимеры перспективными для промышленного применения.

Несмотря на многообразие известных примеров, подавляющее большинство пористых **МОКП** построены на основе ароматических карбоксилатных и N-донорных лигандов, обладающих собственной структурной жесткостью и повышающих предсказуемость образующейся полимерной решетки. Обособленное место в химии координационных полимеров занимают алифатические и алициклические мостики, использование которых приводит к другим, зачастую кардинально отличающимся свойствам **МОКП** – оптическим, адсорбционным, термическим. Кроме того, низкая структурная жесткость алифатического остава может обеспечивать совершенно новое явление, нехарактерное для ароматических фрагментов – конформационное дыхание, приводящее к значительной вариативности координационной решетки и имеющее перспективы в селективной сорбции и хранении субстратов в устойчивом виде. Алициклические лиганды, с химической и физико-химической точек зрения крайне близкие алифатическим, тем не менее, обладают несколько большей структурной жесткостью, что предпочтительно для синтеза кристаллических координационных полимеров на их основе с сохранением уникальных свойств, присущих насыщенному оству. Настоящая работа направлена на разработку методов синтеза металл-органических координационных полимеров с алициклическими мостиковыми лигандами, установление их строения и систематическое исследование их функциональных свойств.

**Степень разработанности темы исследования.** Несмотря на промышленную доступность ряда алициклических дикарбоновых кислот, химия **МОКП** на их основе развита недостаточно, а ограниченной систематизации их свойств посвящены лишь единичные краткие обзоры. Отчасти это может быть связано с конформационной лабильностью данных лигандов, которая на этапе синтеза затрудняет самосборку регулярной периодической координационной решетки, а на этапе характеризации может осложнить применение стандартных методов, особенно рентгеновской дифракции, из-за возможно эффекта дыхания и увеличенного беспорядка в кристаллической структуре. Тем не менее, низкая собственная фотоактивность алифатических и алициклических фрагментов, их повышенная гидрофобность и управляемая динамика пористой структуры делают координационные полимеры на их основе перспективными для исследований в

области фотохимии и фотокатализа, получения материалов с уникальными строением и сорбционными свойствами, а также «умных» материалов, структура и свойства которых изменяются под внешним воздействием (англ. *stimuli-responsive materials*).

**Целью** работы являлись разработка методик синтеза, установление строения и исследование функциональности новых **МОКП** с алициклическими лигандами. Поставленные для выполнения данной цели **задачи** включали:

- Получение и установление кристаллических структур новых координационных полимеров на основе *транс*-1,4-циклогександикарбоновой кислоты ( $H_2chdc$ ) и N,N'-диоксида-1,4-диазабицикло[2.2.2]октана (dabco).
- Установление взаимосвязи между различными факторами при синтезе новых **МОКП**, содержащих данные конформационно подвижные линкеры, и строением образующихся продуктов.
- Исследование оптических свойств получаемых координационных полимеров.
- Исследование сорбционных свойств получаемых пористых координационных полимеров.

**Научная новизна работы.** Синтезирован и охарактеризован набором современных физико-химических методов 41 новый металл-органический координационный полимер, содержащий конформационно подвижные алициклические лиганды. Для 36 соединений установлена кристаллическая структура методом рентгеноструктурного анализа (**РСА**). Выявлены взаимосвязи между условиями синтеза новых соединений, их строением и составом.

Экспериментально показано, что МОКП  $[Zn_2(ee-chdc)(aa-chdc)(dabco)]$  (dabco – 1,4-диазабицикло[2.2.2]октан) обладает конформационным дыханием и охарактеризованы три его формы. По данным **РСА** синтезированные кристаллы относятся к форме с промежуточной пористостью. Более компактная форма  $[Zn_2(aa-chdc)_2(dabco)]$  образуется в результате активации и сохраняет перманентную пористость с удельной площадью поверхности  $705\text{ m}^2/\text{г}$ . Строение формы более пористой  $[Zn_2(ee-chdc)_2(dabco)]$ , полученной в результате конформационного перехода, установлено методом **РСА** монокристалла для аддукта с эпоксидом циклогексена.

Получен и структурно охарактеризован ряд координационных полимеров Y(III), Eu(III) и Tb(III) на основе  $H_2chdc$  и дополнительного хелатного лиганда. Аналогичные соединения  $[Y_2(bpy)_2(chdc)_3]$  и  $[Y_2(phen)_2(chdc)_3]\cdot0.5DMF$  проявляют синюю фотолюминесценцию, причем квантовый выход для первого соединения более чем в 25 раз выше, чем для второго, что связано с разупорядочением молекулы фенантролина. Показана возможность синтеза гетерометаллических соединений  $[Ln_2(bpy)_2(chdc)_3]$  с сохранением кристаллической структуры исходной фазы.

Использование конформационно подвижного и электронейтрального лиганда dabco позволяет получать координационные полимеры с положительно заряженным каркасом и богатым структурным многообразием, что актуально для синтеза материалов, проявляющих селективные анионообменные свойства.

**Теоретическая и практическая значимость работы.** Установление условий и закономерностей синтеза координационных полимеров, содержащих лиганды с алициклическим остовом, является важным вкладом в фундаментальные знания в области координационной и супрамолекулярной химии. Полученные результаты могут быть использованы в научно-исследовательской практике организаций, которые осуществляют

исследования в направлении синтеза и изучения реакционной способности координационных соединений, а также в учебных курсах ведущих образовательных организаций России химического профиля.

Измерена адсорбция промышленно важных газов: углекислого газа, метана, азота, а также паров бензола и циклогексана металл-органическим каркасом  $[Zn_2(chdc)_2(dabco)]$ . Рассчитанные факторы селективности для бинарных газовых смесей согласуются с алифатической природой внутренней поверхности этого сорбента. Объем сорбированного из газовой фазы бензола ( $125 \text{ cm}^3/\text{г}$  или  $5.58 \text{ ммоль}/\text{г}$  при  $298 \text{ K}$ ) является одним из рекордных для координационных полимеров со сходными геометрическими характеристиками пор.

Установлены высокие квантовые выходы фотолюминесценции (от 46 % до 63%) индивидуальных соединений  $[Ln_2(bpy)_2(chdc)_3]$ , их устойчивость к нагреванию до  $300^\circ\text{C}$  и возможность изменения цвета эмиссии в широком диапазоне путём получения гетерометаллических фаз переменного состава. Получен белый люминофор с эффективной цветовой температурой более  $6100 \text{ K}$  и квантовым выходом 20 % при длине волны возбуждающего света 360 нм, что делает серию  $[Ln_2(bpy)_2(chdc)_3]$  перспективной для использования в люминесцентных источниках света.

Впервые получены и структурно охарактеризованы ряд МОКП марганца(II) и цинка(II), содержащих *odabco* в качестве единственного мостикового лиганда. Методом спектроскопии диффузного отражения показано, что пористые МОКП  $Zn(II)$ , содержащие алициклические лиганды *odabco* или *chdc*<sup>2-</sup>, обладают низким поглощением в УФ/видимой области, что делает их перспективными системами для фотохимических, фотокатализитических и люминесцентных исследований.

**Методология работы.** Данная работа выполнена в области синтетической химии комплексных соединений. Значительную часть работы составляют оптимизация методик синтеза металл-органических координационных полимеров и выращивание их монокристаллов для рентгеноструктурного анализа (РСА), проводившегося, в том числе, с использованием синхротронного излучения. Ряд соединений включения был получен через обмен растворителя в порах в твердом теле. Для достоверной характеризации и доказательства чистоты полученных соединений в работе проводились также рентгенофазовый анализ (РФА), элементный (С, Н, N, Cl, редкие земли) анализ, термогравиметрический анализ (ТГА), ИК-спектроскопия. При дальнейшем исследовании физико-химических свойств использовались данные РФА и ТГА, современные методы измерения магнитной восприимчивости, запись спектров диффузного отражения и люминесценции в твердом теле, сорбция газов и углеводородов из газовой фазы, термохимические расчеты.

#### **Положения, выносимые на защиту:**

- методики синтеза и данные о строении новых координационных полимеров;
- результаты изучения сорбционного поведения пористого координационного полимера  $[Zn_2(chdc)_2(dabco)]$  и термохимических расчетов на основе сорбционных данных;
- результаты изучения оптических свойств новых координационных полимеров цинк(II) и фотолюминесцентных свойств соединений серии  $[Ln_2(bpy)_2(chdc)_3]$  и  $[Ln_2(phen)_2(chdc)_3]$ .

**Личный вклад автора.** Диссертантом самостоятельно проводились все описанные в экспериментальной части синтезы, интерпретация данных РФА и элементного анализа, ИК-спектров, термограмм, спектров диффузного отражения и люминесценции, а также пробоподготовка для элементного анализа, ТГА, сорбционных измерений, записи

спектров диффузного отражения и люминесценции. Рентгеноструктурный анализ от пробоотбора до публикации сif-файлов проводился самостоятельно, либо совместно с к.х.н. Д.Г. Самсоненко. Сорбционные измерения и интерпретация их результатов проводились совместно с к.х.н. К.А. Коваленко. Магнитные измерения выполнены к.х.н. А.С. Богомяковым (МТЦ СО РАН) и А.Ю. Андреевой. ИСП-МС анализ на редкоземельные элементы выполнен С.С. Волынкиным. Обсуждение результатов и подготовка публикаций велись совместно с научным руководителем и соавторами работ.

**Апробация работы.** Результаты, полученные в рамках работы по теме диссертации, докладывались автором на 6 конференциях: IX научная конференция молодых ученых «Инновации в Химии: достижения и перспективы» (2018, Москва), Международная научная конференция студентов, аспирантов и молодых учёных «Ломоносов-2019» (2019, Москва), 14th International Symposium on Macrocyclic and Supramolecular Chemistry ISMSC2019 (2019, Lecce, Italy), Mendeleev-2019 (2019, Санкт-Петербург), 3rd International Conference on Metal Organic Frameworks and Porous Polymers EuroMOF-2019 (2019, Paris, France), Международная научная конференция студентов, аспирантов и молодых учёных «Ломоносов-2021» (2021, Москва). 4 доклада отмечены дипломами II и III степени за лучший устный доклад.

**Публикации.** Результаты работы представлены в 6 статьях в рецензируемых журналах, входящих в перечень индексируемых в международной системе научного цитирования Web of Science, из них 4 статьи – в российских журналах и 2 статьи – в международных. Опубликованы тезисы 6 докладов на российских и зарубежных конференциях.

**Степень достоверности результатов исследований.** Экспериментальные данные получены комплексом современных физико-химических методов анализа. Данные, полученные различными методами, согласуются между собой и воспроизводимы. Результаты работы опубликованы в рецензируемых отечественных и зарубежных журналах, что свидетельствует о признании их достоверности научным сообществом.

**Соответствие специальности 02.00.01 – неорганическая химия.** Диссертационная работа соответствует п. 2 «Дизайн и синтез новых неорганических соединений и особо чистых веществ с заданными свойствами» и п. 5 «Взаимосвязь между составом, строением и свойствами неорганических соединений. Неорганические наноструктурированные материалы» паспорта специальности 02.00.01- неорганическая химия.

**Объём и структура работы.** Диссертация изложена на 176 страницах, содержит 67 рисунков и 11 таблиц. Работа состоит из введения, обзора литературы (гл. 1), экспериментальной части (гл. 2), обсуждения результатов (гл. 3), выводов, заключения и списка литературы (159 ссылок). Работа проводилась по плану НИР Федерального государственного бюджетного учреждения науки Института неорганической химии им. А.В. Николаева СО РАН (г. Новосибирск), а также в рамках проектов РНФ 14-23-00013 (руководитель В.П. Федин), РФФИ 18-29-04001 (руководитель В.П. Федин), РФФИ 19-33-90195 (руководитель Д.Н. Дыбцев) и РФФИ 19-43-543016 совместно с Правительством Новосибирской области (руководитель П.А. Демаков). Исследование было поддержано премией им. академика А.В. Николаева (ИНХ СО РАН).

## ОСНОВНОЕ СОДЕРЖАНИЕ ДИССЕРТАЦИИ

Во введении обоснована актуальность темы, поставлена цель и определены задачи исследования, сформулированы научная новизна, практическая значимость работы и положения, выносимые на защиту. Первая глава посвящена литературному обзору. Обзор разделен на три смысловые части: в первой части рассматривается феномен обратимых структурных перестроек каркаса (дыхания) металло-органических каркасов и его типы, во второй части приводится обзор методов исследования дышащих МОКП, а в третьей части анализируются строение и свойства координационных полимеров на основе транс-1,4-циклогександикарбоновой кислоты и ее ближайших алициклических аналогов. Во второй главе содержится описание экспериментальных методик и использованного оборудования. Третья глава посвящена описанию и обсуждению полученных результатов.

### Координационные полимеры Mn(II) и Zn(II) с odabco

N,N'-диоксид-1,4-диазабицикло[2.2.2]октана (odabco) является практически неизученным в координационной химии лигандром. Его электронейтральность позволяет целенаправленно получать координационные полимеры, содержащие положительно заряженный металло-органический каркас. Возможность поворота неподеленных электронных пар атомов O вокруг оси ONNO молекул лиганда (рис. 1а) обеспечивает потенциальное дыхание и богатый полиморфизм образующихся полимерных решеток. Например, при значениях торсионного угла M–O<sub>odabco</sub>–O<sub>odabco</sub>–M, равных 0° и 180°, odabco геометрически проявляет себя, соответственно, как угловой (рис. 1б) и линейный (рис. 1в) мостик. При этом уникальная природа алициклического остова может обеспечивать другие малораспространенные в химии МОКП физико-химические свойства, такие как прозрачность к жесткому УФ-излучению и отсутствие люминесценции. В рамках данной работы систематически исследовались системы odabco с Mn(II) и Zn(II) – катионами, имеющими наполовину и полностью заполненный d-подуровень, соответственно, и по этой причине также обладающими низким оптическим поглощением с целью получения координационных полимеров, перспективных в качестве УФ-прозрачных матрицы или материалов с регулируемой фотоактивностью.

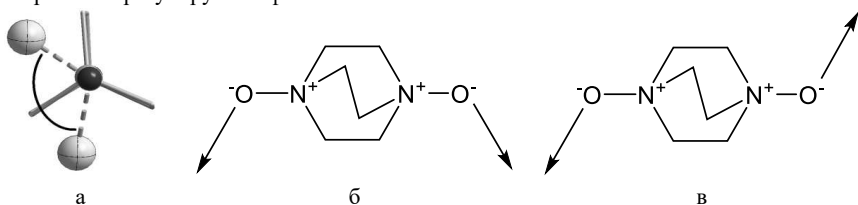


Рис. 1. Торсионный угол M–O<sub>odabco</sub>–O<sub>odabco</sub>–M (а). Моды связывания мостикового odabco при значении торсионного угла 0° (б) и 180° (в).

В качестве источника лиганда odabco использовался сольват с пероксидом водорода odabco·3H<sub>2</sub>O<sub>2</sub>, кристаллическая структура которого была известна ранее [1]. Нами была оптимизирована методика его синтеза, что позволило получать граммовые количества odabco·3H<sub>2</sub>O<sub>2</sub> реакцией окисления 1,4-диазабицикло[2.2.2]октана (dabco) водным раствором пероксида водорода. Для проведения высокотемпературных ампульных синтезов была разработана методика синтеза нового соединения – соли odabco с азотной кислотой odabco·HNO<sub>3</sub>, не содержащей взрывоопасного H<sub>2</sub>O<sub>2</sub>.

При варьировании условий синтеза по растворителям, противоионам в солях металлов и температуре получены 11 МОКП цинка(II) и марганца(II). 8 из них содержат положительно заряженный каркас, из которых четыре – трехмерные. Информация о составе, строении и характеризации полученных координационных полимеров с odabco суммирована в таблице 1.

Таблица 1

**Информация о полученных соединениях 1–10**

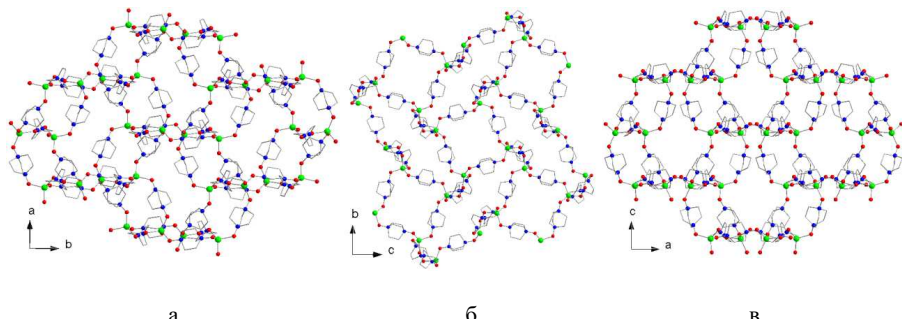
Соед.	Формула, установленная по данным РСА	КЧ иона	Размерность	Выход	Методы характеризации
<b>1</b>	[Mn(DMF) <sub>2</sub> (odabco) <sub>2</sub> ](ClO <sub>4</sub> ) <sub>2</sub> ·DMF·H <sub>2</sub> O	6	2D	81%	CHNCl, ИК
<b>2<sub>Mn</sub></b>	[Mn <sub>2</sub> (H <sub>2</sub> O) <sub>2</sub> (HCOO) <sub>4</sub> ] <cdot>odabco</cdot>	6	2D	52%	РФА, CHN, ИК
<b>3</b>	[Mn <sub>2</sub> (Hodabco) <sub>6</sub> (odabco) <sub>9</sub> ](NO <sub>3</sub> ) <sub>12</sub>	6	1D	23%	РФА, CHN, ИК
<b>4</b>	[Mn <sub>2</sub> (odabco) <sub>6</sub> ](NO <sub>3</sub> ) <sub>4</sub>	6	3D	-*	-
<b>2<sub>Zn</sub></b>	[Zn(H <sub>2</sub> O) <sub>2</sub> (HCOO) <sub>2</sub> ] <cdot>odabco</cdot>	6	2D	88%	РФА, CHN, ИК, ТГА
<b>5</b>	[Zn <sub>2</sub> (μ-O)(odabco) <sub>2</sub> (HCOO) <sub>2</sub> ](NO <sub>3</sub> )	4	2D	-*	-
<b>6</b>	[Zn(odabco)(OAc) <sub>2</sub> ] <sub>n</sub>	4+1	1D	-*	-
<b>7</b>	[Zn <sub>2</sub> (odabco) <sub>3</sub> (OAc) <sub>2</sub> ](NO <sub>3</sub> ) <sub>2</sub>	4+1	2D	20%	РФА, CHN, ИК, ТГА, ДО
<b>8</b>	[Zn <sub>2</sub> (μ-O)(odabco) <sub>3</sub> ](NO <sub>3</sub> ) <sub>2</sub> ·NMP·2H <sub>2</sub> O	4	3D	71%	РФА, CHN, ИК, ТГА, ДО
<b>9</b>	[Zn <sub>2</sub> (odabco) <sub>4</sub> ](NO <sub>3</sub> ) <sub>3</sub> (ClO <sub>4</sub> )·2DMF	4	3D	62%	РФА, CHNCl, ИК, ТГА, ДО
<b>10</b>	[Zn(odabco) <sub>2</sub> ](NO <sub>3</sub> )(ClO <sub>4</sub> )·0.4dox	4	3D	51%	РФА, CHNCl, ИК, ТГА, ДО

\*Соединения **4,5** и **6** получены в виде единичных монокристаллов и охарактеризованы методом РСА.

Реакцией нитрата цинка(II) с odabco·3H<sub>2</sub>O<sub>2</sub> в чистом N,N-диметилформамиде (DMF), подкисленном хлорной кислотой, при 80°C получен МОКП [Zn<sub>2</sub>(odabco)<sub>4</sub>](NO<sub>3</sub>)<sub>3</sub>(ClO<sub>4</sub>)·2DMF (**9**), в котором ионы цинка(II) координированы четырьмя мостиковыми молекулами odabco. Тетраэдрические узлы соединены в трехмерный каркас моноклинной сингонии, имеющий топологию цеолита ВСТ (рис. 2а, 2б). Каркас содержит небольшие каналы двух типов, чередующиеся в шахматном порядке (рис. 2б) с общим удельным объемом пустот, равным 42%. Каналы заняты гостевыми молекулами DMF и противоионами NO<sub>3</sub><sup>-</sup> и ClO<sub>4</sub><sup>-</sup> в отношении 3:1. Проведение похожего синтеза в подкисленной хлорной кислотой смеси DMF и диоксана приводит к образованию соединения [Zn(odabco)<sub>2</sub>](NO<sub>3</sub>)(ClO<sub>4</sub>)·0.4dox (**10**), содержащего изомерный каркас такой же топологии, но с немного отличающимися геометрическими характеристиками. Тетраэдрические узлы Zn(II) в нём связаны в более симметричную тетрагональную решётку, которая имеет аналогичный вид вдоль основных каналов (рис. 1б), однако в перпендикулярном им направлении из-за разворота мостиковых лигандов odabco увеличивается размер апертур между каналами, которые в соединении **10** уже представляют собой небольшие окна размером около 3x4 Å<sup>2</sup> (рис. 2в). Это приводит к увеличению общего объема пустот до 47%. Данный пример демонстрирует возможности odabco в образовании полимерных решеток варьируемой геометрии и с потенциальным дыханием.

Установлено, что ион Mn<sup>2+</sup> в координационных полимерах с odabco принимает октаэдрическое окружение, Zn<sup>2+</sup> – тетраэдрическое. При координации к Zn<sup>2+</sup> дополнительного карбоксилатного лиганда наблюдается различие в структурном поведении между формиатом и ацетатом. Формиат-анион координируется к Zn<sup>2+</sup> одним

атомом О. В случае ацетат-аниона, за счет его большей нуклеофильности, наблюдается значительное искажение геометрии  $Zn^{2+}$  в сторону тригональной бипирамиды с КЧ = 4+1.



**Рис. 2.** Проекция трехмерного координационного каркаса в **9** вдоль оси *c* (а) и оси *a* (б). Проекция трехмерного каркаса в **10** вдоль оси *b* (в).

В таблице 2 собраны значения торсионных углов  $M-O_{odabco}-O_{odabco}-M$  в кристаллической структуре трехмерных координационных полимеров с odabco. По полученным в настоящей работе данным можно отметить корреляцию между значениями торсионных углов и пористостью координационной решетки. Так, в соединении марганца(II) **4** мостиковый лиганд имеет выраженную угловую конформацию со значениями всех торсионных углов, лежащими в диапазоне  $24.0^\circ-28.9^\circ$ . При этом металлоорганический каркас **4** содержит изолированные пустоты с общим объемом, равным 10% от объема кристалла. В соединениях **8–10**, включающих лиганд odabco также в заторможенной конформации (значения торсионных углов  $115.6^\circ-134.2^\circ$ ), содержатся уже сообщающиеся пустоты с общим объемом от 37% до 47%. Широкий диапазон возможных значений углов показывает высокую адаптивность конформационно подвижного мостика odabco к присутствующим в системе анионам и растворителем, варьированием природы и молекулярного размера которых возможно добиваться богатого структурного многообразия кристаллизующихся МОКП.

Таблица 2

**Детали структуры трехмерных МОКП с odabco**

Соед.	Связность узла	Торсионные углы $M-O_{odabco}-O_{odabco}-M$ , °	Средний торсионный угол, °	Свободный объем, %
4	6	24.0, 26.6, 28.9	26.5	10
8	6	23.6, 54.8, 130.2	69.5	37
9	4	47.8, 53.5, 115.6, 134.2	87.8	42
10	4	45.3, 120.7	83.0	47

*Координационные полимеры M(II) с chdc<sup>2-</sup>*

На основе *транс*-1,4-циклогександикарбоксилат-аниона получено 8 новых координационных полимеров с двухзарядными катионами переходных металлов. Информация о составе, строении и характеризации полученных координационных полимеров M(II) с chdc<sup>2-</sup> суммирована в таблице 3. Заряд 2+ на атомах Со в [Co(H<sub>2</sub>O)<sub>4</sub>(chdc)] (**11**) и на атомах Mn в **13** и **14** подтвержден магнитными измерениями.

При синтезе соединений **11–14**, проводившемся в водных системах, использовалась добавка слабого многокислотного органического основания – уротропина или диазабициклооктана, которая фиксирует pH раствора и создает условия для кристаллизации продуктов в чистом виде. Например, образование близких по составу соединений марганца(II)  $[\text{Mn}_4(\text{H}_2\text{O})_3(\text{chdc})_4]$  (**13**) и  $[\text{Mn}_2(\text{Hchdc})_2(\text{chdc})]$  (**14**) (см. рисунок 3) конкурирует в широком диапазоне условий, и выделить их чистые фазы удалось только путем варьирования pH уротропинового буфера. Соединение **14**, содержащее протонированные COO-группы, закономерно образуется в более кислой среде. В менее кислых условиях, при на 0.3 меньшем значении pH, чем при синтезе **14**, образуется соединение **13**, в котором депротонированы все карбоксильные группы (табл. 4). Данный пример демонстрирует эффективность контроля pH и буферизации системы как инструмента получения новых металл-органических координационных полимеров.

Таблица 3

**Информация о полученных соединениях 11–18**

Обозначение соединения	Формула, установленная по данным РСА	Размерность	Выход	Методы характеризации
<b>11</b>	$[\text{Co}(\text{H}_2\text{O})_4(\text{chdc})]$	1D	67%	РФА, CHN, ИК, ТГА, МИ
<b>12</b>	$[\text{Cd}(\text{H}_2\text{O})(\text{chdc})] \cdot 0.5\text{CH}_3\text{CN}$	3D	52%	РФА, CHN, ИК, ТГА
<b>13</b>	$[\text{Mn}_4(\text{H}_2\text{O})_3(\text{chdc})_4]$	3D	51%	РФА, CHN, ИК, ТГА, МИ
<b>14</b>	$[\text{Mn}_2(\text{Hchdc})_2(\text{chdc})]$	3D	34%	РФА, CHN, ИК, ТГА, МИ
<b>15</b>	$[\text{Mn}_3(\text{DMF})_2(\text{NMP})_2(\text{chdc})_3]$	2D	33%	РФА, CHN, ИК, ТГА
<b>16</b>	$[\text{Zn}_3(\text{NMP})_2(\text{chdc})_3] \cdot 2\text{NMP}$	2D	-*	-
<b>17</b>	$[\text{Zn}_3(\text{DMF})_{0.5}(\text{ur})(\text{chdc})_3] \cdot \text{DMF}$	3D	66%	РФА, CHN, ИК, ТГА, ДО
<b>18</b>	$[\text{Zn}_2(\text{chdc})_2(\text{dabco})] \cdot 2\text{NMP}$	3D	45%	РФА, CHN, ИК, ТГА, ДО, СИ
<b>18<sub>open</sub></b>	$[\text{Zn}_2(\text{chdc})_2(\text{dabco})] \cdot 3\text{chox}$	3D	-	-

\*Соединение **16** получено в виде монокристаллов в смеси с неизвестной фазой и охарактеризовано методом PCA.

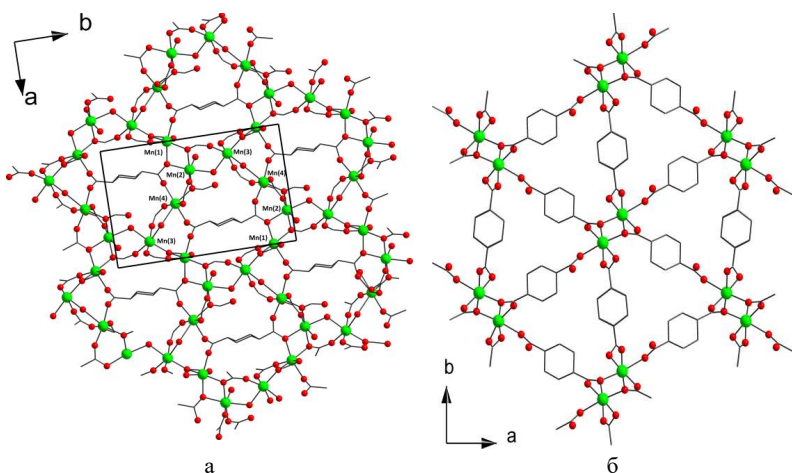


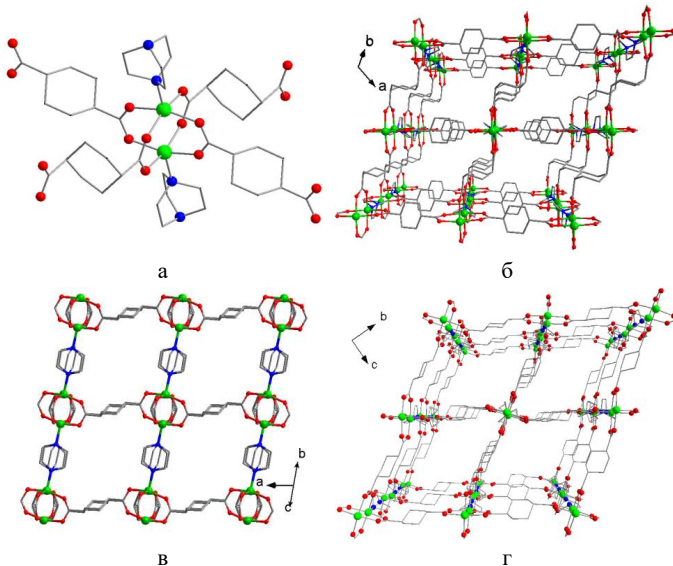
Рис. 3. Проекция трехмерного каркаса  $[\text{Mn}_4(\text{H}_2\text{O})_3(\text{chdc})_4]$  в **13** вдоль оси *c* (а). Проекция трехмерного каркаса  $[\text{Mn}_2(\text{Hchdc})_2(\text{chdc})]$  в **14** вдоль оси *c* (б). Атомы водорода не показаны.

## Детали синтетических условий для соединений 11–14

Соед.	Формула	$M^{2+} : H_2chdc :$ основание (отношение)	pH <sub>нач</sub>	pH <sub>кон</sub>
<b>11</b>	[Co(H <sub>2</sub> O) <sub>4</sub> (chdc)]	1 : 1 : 0.5	4.5	5.0
<b>12</b>	[Cd(H <sub>2</sub> O)(chdc)]·0.5CH <sub>3</sub> CN	1 : 1.3 : 1.2	4.8	4.5
<b>13</b>	[Mn <sub>4</sub> (H <sub>2</sub> O) <sub>3</sub> (chdc) <sub>4</sub> ] <sup>+</sup>	1 : 0.8 : 1	4.9	5.2
<b>14</b>	[Mn <sub>2</sub> (Hchdc) <sub>2</sub> (chdc)] <sup>+</sup>	1 : 2 : 1	4.6	4.9

Координационный полимер  $[Zn_2(chdc)_2(dabco)]\cdot 2NMP$  (**18**) с открытой структурой был получен реакцией нитрата цинка(II) с  $H_2chdc$  и 1,4-диазабицикло[2.2.2]октана (*dabco*) в N-метилпирролидоне (*NMP*). Он построен на основе биядерных блоков вида «китайский фонарик» (рис. 4а), соединенных в четырех направлениях мостиковыми лигандами  $chdc^{2-}$  в слои. Примечательно, что половина *транс*-1,4-цилогександикарбоксилат-анионов находится в биэкваториальной (*e,e-chdc*), а половина – в более короткой биаксиальной (*a,a-chdc*) конформации (рис. 4б). Координационные слои  $\{-Zn_2(chdc)_2-\}_n$  соединены геометрически жесткими линкерами *dabco* с образованием трехмерного пористого каркаса, имеющего примитивную кубическую топологию *pcu*, с системой пересекающихся в трех направлениях каналов. Наибольшие каналы имеют диаметр около 5 Å (рис. 4в), а общий объем пустот составляет 43%. Строение металл-органического каркаса **18** допускает наличие у него обратимых структурных переходов (дыхания) за счет конформационной подвижности циклогексанового кольца в лиганде  $chdc^{2-}$ , благодаря чему можно ожидать существования двух «конформационных изомеров» – более плотной фазы, содержащей  $chdc$ -лиганды только в биаксиальной (*a,a*)-конформации, и более открытой фазы, включающей только (*e,e*)- $chdc$ . Фаза **18**, содержащая *транс*-1,4-цилогександикарбоксилаты в обеих возможных конформациях, может быть охарактеризована как промежуточная по пористости.

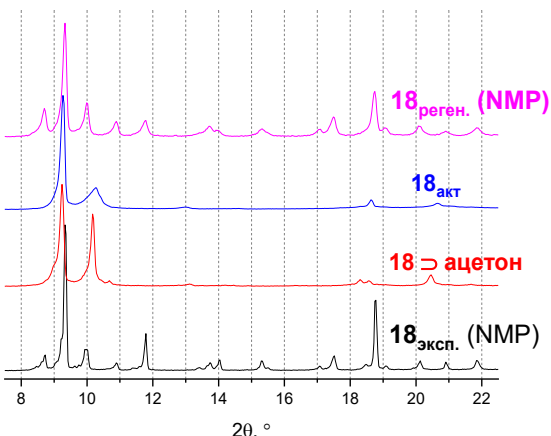
Выдерживанием монокристаллов **18** в жидком эпоксиде циклогексена удалось получить монокристаллы крупнопористой формы **18<sub>open</sub>**, включающей мостики только в биэкваториальной конформации (рис. 4г). Конформационный переход (*a,a*)  $\leftrightarrow$  (*e,e*) по типу монокристалл-монокристалл в координационных полимерах на основе *транс*-1,4-цилогександикарбослат-анионов наблюдается впервые. Раскрытие каркаса сопровождается закономерным увеличением удельного объема пустот до 48%. Активацией исходного **18**, проводившейся через замену гостевых молекул *NMP* на *ацетон* с последующим вакуумированием был получен десольватированный металл-органический каркас **18<sub>акт</sub>**, формула которого  $[Zn_2(chdc)_2(dabco)]$  подтверждена данными элементного анализа. Для этой фазы не удалось установить структуру по данным РСА, однако другими методами доказано нахождение в ней циклогександикарбоксилат-анионных мостиков исключительно в биаксиальной конформации.



**Рис. 4.** Биядерный вторичный строительный блок вида «китайский фонарик» в **18** (а). Проекция трехмерного координационного каркаса в **18** вдоль оси *c* (б), вдоль наибольших каналов (в). Проекция трехмерного координационного каркаса в **18<sub>open</sub>** вдоль оси *a* (г).

Конформационный переход (дыхание) между исходной и активированной формами каркаса  $[Zn_2(chdc)_2(dabco)]$  был детально исследован методом РФА. Первые три наиболее выраженных пика на теоретической рентгенограмме **18** (рис. 5) соответствуют рефлексам кристаллографических плоскостей со следующими индексами Миллера: (1 0 0) для  $2\theta = 8.84^\circ$ , (0 1  $\bar{1}$ ) для  $2\theta = 9.42^\circ$  и (1  $\bar{1}$   $\bar{1}$ ) для  $2\theta = 10.19^\circ$ . В кристаллической структуре **18** соответствующие этим индексам межплоскостные расстояния определяются длиной линкеров (*e,e*)-chdc, dabco и (*a,a*)-chdc соответственно. После замещения сольватных молекул NMP на ацетон рефлекс, соответствующий межплоскостному расстоянию, определяемому длиной (*e,e*)-chdc при  $2\theta = 8.84^\circ$ , исчезает, а второй пик при  $2\theta = 9.42^\circ$ , соответствующий межплоскостному расстоянию, связанному с dabco, несколько смещается в сторону меньших углов  $2\theta \approx 9.3^\circ$ , что соответствует  $d = 9.5 \text{ \AA}$ . Это расстояние очень близко к ожидаемому расстоянию  $d = 9.57 \text{ \AA}$  между слоями  $\{Zn_2(chdc)_2\}$ , строго перпендикулярно соединенными линкерами dabco [2]. Третий пик при  $2\theta = 10.19^\circ$  (1  $\bar{1}$   $\bar{1}$ ) также смещается, но не исчезает, что подтверждает предположение о нахождении всех линкеров chdc<sup>2-</sup> только в (*a,a*)-конформации. Интенсивность рефлексов в области  $2\theta > 11^\circ$  заметно падает, что свидетельствует о значительной аморфизации фазы, возникающей, по всей видимости, за счет сильных деформаций в кристаллитах при конформационном переходе. После удаления гостевых молекул из образца **18<sub>acetone</sub>** путем нагревания в вакууме, на порошковой дифрактограмме полученного соединения **18<sub>акт</sub>** не наблюдается принципиальных изменений в области  $2\theta < 11^\circ$ , кроме уширения пиков, демонстрирующего дальнейшее снижение кристалличности. Таким образом, в активированной форме **18<sub>акт</sub>** и аналогичной ей фазе **18<sub>acetone</sub>** показано отсутствие chdc-

лиганда в биэкваториальной конформации. Следует отметить, что «схлопывание» металлоорганического каркаса в низкоクリSTALLИЧНУЮ фазу является обратимым, так как нагревание активированной формы в NMP в течение 3 часов приводит к восстановлению кристаллической структуры исходной **18**, порошковая рентгенограмма которой отличается от синтезированной лишь уширением основных рефлексов. Таким образом, локальные деформации в кристаллической структуре  $[Zn_2(chdc)_2(dabco)]$  при конформационных переходах не приводят к полному нарушению связности координационной сетки. Похожее поведение с обратимой аморфизацией при активации было ранее описано в литературе для МОКП  $[Zr_6O_4(OH)_4(chdc)_6]$ , имеющего топологию UiO-66 [3].



**Рис. 5.** Порошковые дифрактограммы образцов **18**, **18**<sub>в ацетон</sub>, **18**<sub>акт</sub> и регенерированного **18**.

Текстурные характеристики активированной фазы **18**<sub>акт</sub> исследовались методом низкотемпературной адсорбции азота. Объем пор, установленный по наиболее распространенной модели Гурвича, составил 0.31 мл/г. Он закономерно меньше, чем теоретическое значение 0.38 мл/г, рассчитанное для исходной формы **18**. Удельная площадь поверхности, рассчитанная по модели БЭТ, составляет  $705\text{ м}^2/\text{г}$  и более чем в два раза превосходит известные из литературы экспериментальные значения для других пористых МОКП на *транс*-1,4-циклогександикарбоксилат-анионов [3 – 6]. Изотермы сорбции углекислого газа, метана и азота при  $0^\circ\text{C}$  имеют ленгмюровскую форму, полностью обратимы и не содержат петель гистерезиса, что, по всей видимости, означает сохранение структуры активированной формы в этих процессах. Рассчитанные из сорбционных данных значения изостерических теплот адсорбции (табл. 5) невелики и типичны для взаимодействия данных газов с сорбентами по типу физической адсорбции. Факторы селективности, рассчитанные для бинарных газовых смесей по разным моделям (см. таблицу 5), также невелики, что демонстрирует достаточную инертность алифатической внутренней поверхности каркаса **18**.

Параметры адсорбции индивидуальных газов и бинарных газовых смесей для  $18_{\text{акт}}$ 

Индивидуальные газы				Бинарные газовые смеси (273 К)			
Газ	T, K	$V_{\text{сорб}}$ , см <sup>3</sup> /г	$Q_{\text{ст}}^0$ , КДж/моль	Смесь	$V_{\text{сорб1}}/V_{\text{сорб2}}$	$K_{\text{Hi}}/K_{\text{H2}}$	IAST
$\text{CO}_2$	273	83.2	25.5	$\text{CO}_2/\text{N}_2$	11.1	21.4	4.74
	298	49.4					
$\text{CH}_4$	273	31.1	18.6	$\text{CH}_4/\text{N}_2$	4.15	6.27	2.45
	298	19.8					
$\text{N}_2$	273	7.5	11.1	$\text{CO}_2/\text{CH}_4$	2.68	3.42	1.97
	298	5.3					

$V_{\text{сорб}}$  – адсорбируемый объем при давлении адсорбтива 1 бар.

$Q_{\text{ст}}^0$  – изостерическая теплота адсорбции при нулевом заполнении поверхности.

$K_{\text{Hi}}$  – константа Генри

IAST – коэффициент селективности, рассчитанный по теории идеальных адсорбционных растворов для эквимолярной газовой смеси

Изотерма сорбции паров бензола соединением  $18_{\text{акт}}$  при 298 К имеет более сложный вид. В области малых давлений бензол практически не сорбируется. При давлении паров бензола ~10 торр на изотерме (рис. 6) наблюдается первый скачок с объемом насыщения на данной ступени, равным 90 мл/г (2.3 молекулы  $\text{C}_6\text{H}_6$  на ф.ед. каркаса). Данное значение адсорбции бензола хорошо соответствует ожидаемому для промежуточной формы  $18$  (2.5 молекулы  $\text{C}_6\text{H}_6$  на ф.ед. каркаса), рассчитанному исходя из удельного объема пустот. Далее при давлении паров ~35 торр наблюдается второй выраженный скачок адсорбции с окончательным объемом насыщения, равным 125 мл/г (3.1 молекулы  $\text{C}_6\text{H}_6$  на ф.ед. каркаса), который, в свою очередь, хорошо соответствует теоретически рассчитанному для открытой формы  $18_{\text{open}}$  (3.3 молекулы  $\text{C}_6\text{H}_6$  на ф.ед. каркаса). Десорбция бензола сопровождается большой петлей гистерезиса. По всей видимости, по мере насыщения каркасаарами бензола происходит два конформационных перехода  $18_{\text{акт}} \rightarrow 18 \rightarrow 18_{\text{open}}$ .

На изотерме сорбции паров циклогексана (рис. 6) имеется одна выраженная ступень адсорбции с объемом насыщения, равным 70 мл/г (1.8 молекулы  $\text{C}_6\text{H}_{12}$  на ф.ед. каркаса), который снова хорошо соответствует теоретически для исходной формы  $18$  (2.1 молекулы  $\text{C}_6\text{H}_{12}$  на ф.ед. каркаса), промежуточной по пористости. Десорбция циклогексана также сопровождается большим гистерезисом. Таким образом, включение крупных молекул бензола и циклогексана инициирует конформационные переходы в координационной решетке и приводит к раскрытию активированной формы  $18_{\text{акт}}$  в более пористые формы.

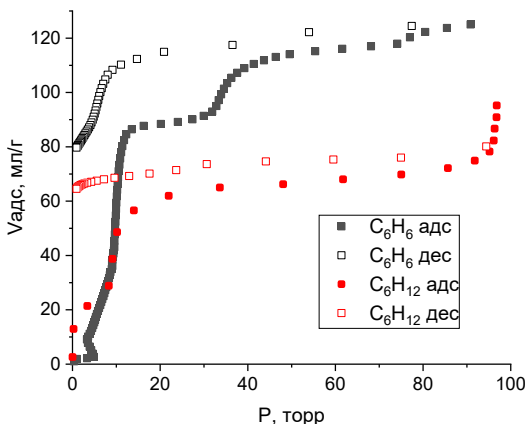
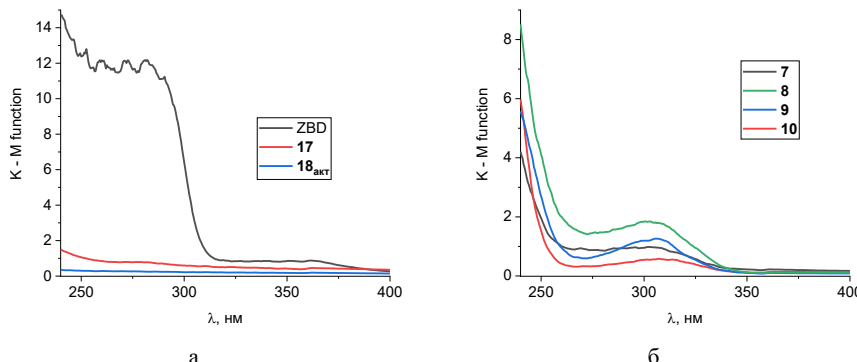


Рис. 6. Изотермы сорбции бензола и циклогексана для **18акт** при 298 К.

Оптическое поглощение пористых карбоксилатов цинка **17** и **18акт** было охарактеризовано методом спектроскопии диффузного отражения (ДО, рис. 7а). Для сравнения с ними был также записан спектр ДО для химически сходного терефталата цинка(II) с формулой  $[Zn_2(bdc)_2(dabco)]$  ( $H_2bdc$  = терефталевая кислота), изоретикулярного **18**. На спектре диффузного отражения  $[Zn_2(bdc)_2(dabco)]$  наблюдается небольшое плечо в области 320 – 370 нм и интенсивный край поглощения при 300 нм. Аналогичные элементы наблюдаются и на спектре ДО для **17**, однако если в более длинноволновой области его поглощение ниже, чем у МОКП на основе ароматических терефталат-анионов примерно в два раза, то в коротковолновой области отличие в оптическом поглощении достигает одного порядка. Для активированного  $[Zn_2(chdc)_2(dabco)]$  (**18акт**) оптическое поглощение ниже еще в несколько раз во всем исследованном диапазоне.

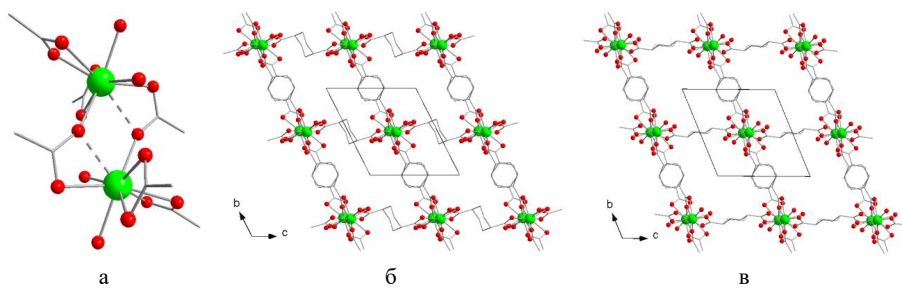
На спектрах ДО координационных полимеров цинка(II) **7–10**, построенных на основе лиганда *odabco* также наблюдается слабый пик поглощения в области 270 – 330 нм и практически полная прозрачность для УФ-излучения при больших длинах волн (см. рисунок 7б). Таким образом, оптическое поглощение катионных каркасов с *odabco*, которое также ранее не исследовалось, сравнимо с крайне низким поглощением МОКП на основе *транс*-1,4-циклогександикарбоксилат-анионов, что делает их перспективными для создания УФ-прозрачных матриц и материалов с регулируемыми оптическими свойствами.



**Рис. 7.** Спектры диффузного отражения для *транс*-1,4циклогександикарбоксилатов цинка **17** и **18<sub>акт</sub>** в сравнении с **ZBD** (а). Спектры диффузного отражения для координационных полимеров цинка с odabco **7–10** (б).

#### Координационные полимеры с катионами РЗМ(III) и chdc<sup>2+</sup>

На основе *транс*-1,4-циклогександикарбоксилат-анионов с трехзарядными катионами редкоземельных металлов Ln<sup>3+</sup> получены координационные полимеры семи структурных типов. Информация о составе, строении и характеризации полученных координационных полимеров Ln(III) с chdc<sup>2+</sup> суммирована в таблице 6. В основе МОКП **21<sub>Yb</sub>** лежат биядерные карбоксилатные блоки  $\{Yb_2(H_2O)_4(\mu\text{-RCOO-}\kappa^1,\kappa^2)_2(\text{RCOO-}\kappa^2)_4\}$  (рис. 8а), содержащие по две координированные молекулы воды на каждый катион. Блоки являются шестисвязанными узлами, которые соединены через мостиковые лиганды chdc<sup>2+</sup> в трехмерный каркас, имеющий топологию *rcsi*. В одном из трех кристаллографических направлений (вдоль оси *c*) *транс*-1,4-циклогександикарбоксилат-анионы принимают биаксиальную конформацию (рис. 8б). При этом они формируют стены каналов размерами около  $5 \times 6 \text{ \AA}^2$ , заполненных гостевыми молекулами воды ( $\sim 7\text{H}_2\text{O}$  на ф.ед. каркаса). Общий объем пустот в **21<sub>Yb</sub>** составляет 19%.



**Рис. 8.** Биядерный блок  $\{Yb_2(H_2O)_4(\mu\text{-RCOO-}\kappa^1,\kappa^2)_2(\text{RCOO-}\kappa^2)_4\}$  в **21<sub>Yb</sub>** (а). Проекции трехмерного координационного каркаса вдоль оси *a* для **21<sub>Yb</sub>** (б) и **21<sub>Yb</sub>-open** (в). Атомы водорода и гостевые молекулы не показаны.

## Информация о полученных соединениях 19–24

Соед.	Формула, установленная по данным РСА	Размерность	Выход	Методы характеризации
<b>19<sub>Ln</sub></b>	[Ln <sub>2</sub> (H <sub>2</sub> O) <sub>4</sub> (chdc) <sub>3</sub> ] (Ln = Ce, Sm, Eu)	3D	60% (Ln = Ce)*	РФА, СНН, ИК, ТГА (Ln = Ce)
<b>20</b>	[Gd <sub>2</sub> (H <sub>2</sub> O) <sub>4</sub> (chdc) <sub>3</sub> ]	3D	-*	-
<b>21<sub>Ln</sub></b>	[Ln <sub>2</sub> (H <sub>2</sub> O) <sub>4</sub> (chdc) <sub>3</sub> ]·7H <sub>2</sub> O (Ln = Gd, Yb)	3D	71% (Ln = Gd) 95% (Ln = Yb)	РФА, СНН, ИК, ТГА
<b>21<sub>Yb-open</sub></b>	[Yb <sub>2</sub> (H <sub>2</sub> O) <sub>4</sub> (chdc) <sub>3</sub> ]·11H <sub>2</sub> O	3D	-*	-
<b>22<sub>Ln</sub></b>	[Ln <sub>2</sub> (bpy) <sub>2</sub> (chdc) <sub>3</sub> ]·H <sub>2</sub> O (Ln = Eu, Tb, Y)	3D	55 – 68 %	РФА, СНН, ИК, ТГА, ТЛ
<b>23<sub>Ln</sub></b>	[Ln <sub>2</sub> (phen) <sub>2</sub> (chdc) <sub>3</sub> ]·0.5DMF (Ln = Eu, Tb, Y)	3D	46 – 51 %	РФА, СНН, ИК, ТГА, ТЛ
<b>24<sub>Ln</sub></b>	[Ln(phen)(NO <sub>3</sub> ) <sub>2</sub> (chdc)]·DMF (Ln = Eu, Tb, Y)	2D	71% - 81 %	РФА, СНН, ИК, ТГА, ТЛ

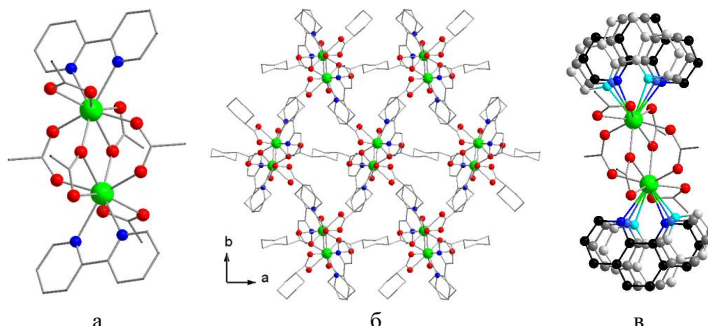
\*Соединения **19<sub>Sm</sub>**, **19<sub>Eu</sub>**, **20** получены в виде единичных монокристаллов и охарактеризованы методом РСА. Соединение **21<sub>Yb-open</sub>** получено как примесь к **21<sub>Yb</sub>** и охарактеризовано методом РСА.

Такое строение металл-органического каркаса **21<sub>Yb</sub>** допускает возможность дыхания с переходом chdc-лигандов, лежащих вдоль оси *c*, из биаксиальной конформации в биэкваториальную. Реализовать такой переход при гостевом обмене не удалось, однако монокристаллы более пористой «открытой» формы **21<sub>Yb-open</sub>** (рис. 8в) были получены при повышении температуры синтеза со 160°C до 180°C с уменьшением времени выдерживания в печи с 48 ч до 12 ч, по всей видимости, в условиях кинетического контроля. Доступный для растворителя объем пустот в открытой форме закономерно увеличивается, и составляет 31%. Каналы также содержат только гостевые молекулы воды (11H<sub>2</sub>O на ф.ед. каркаса). Синтез **21<sub>Yb</sub>** и **21<sub>Yb-open</sub>** является первым примером самосборки двух конформационных изомеров МОКП на основе *транс*-1,4-циклогександикарбоксилата при варьировании условий синтеза.

Попытка активации **21** приводит к разрушению кристаллической структуры, вероятно, из-за легкого удаления молекул воды из координационной сферы иона. Данные аква-лиганды координированы к иону РЗМ(III) в цисоидном расположении и потенциально могут быть замещены более прочно связывающимся хелатирующим лигандом для упрочнения координационной решетки. В качестве второго лиганда были использованы 2,2'-бипиридин (bpy) и 1,10-фенантролин (phen), которые, помимо прочного связывания с ионами Ln<sup>3+</sup>, часто обеспечивают интересные люминесцентные свойства за счет типичного для ионов лантаноидов эффекта антенны.

В результате данного «двулигандного» подхода были получены серии координационных полимеров европия(III), тербия(III) и иттрия(III) **22<sub>Ln</sub>** и **23<sub>Ln</sub>**. В их основе лежат биядерные блоки {Ln<sub>2</sub>(L)<sub>2</sub>(RCOO-κ<sup>2</sup>)<sub>2</sub>(μ-RCOO-κ<sup>1</sup>,κ<sup>1</sup>)<sub>2</sub>(μ-RCOO-κ<sup>1</sup>,κ<sup>2</sup>)<sub>2</sub>}, где L = bpy или phen (рис. 9а) схожего с предыдущими (в **21<sub>Ln</sub>**) строения, в которых действительно два координационных места при каждом ионе металла заняты вместо молекул воды молекулой хелатирующего дииамина. Примечательно, что в **23<sub>Ln</sub>** для молекулы фенантролина наблюдается разупорядочение по трем позициям (рис. 9в), которое, как будет показано далее, сильно влияет на люминесцентные свойства МОКП с иттрием(III). Карбоксилатные блоки {Ln<sub>2</sub>(L)<sub>2</sub>(RCOO)<sub>6</sub>} соединены мостиковыми *транс*-

1,4-циклогександикарбоксилат-анионами в трехмерный каркас аналогичной топологии *rcsi* (рис. 9б), который содержит небольшие пустоты общим удельным объемом ~6%.



**Рис. 9.** Биядерный блок  $\{\text{Ln}_2(\text{bpy})_2(\text{RCOO}-\kappa^2)_2(\mu-\text{RCOO}-\kappa^1,\kappa^1)_2(\mu-\text{RCOO}-\kappa^1,\kappa^2)_2\}$  в  $22_{\text{Ln}}$  (а).

Проекция трехмерного координационного каркаса  $22_{\text{Ln}}$  вдоль оси *c* для (б). Биядерный блок  $\{\text{Ln}_2(\text{phen})_2(\text{RCOO}-\kappa^2)_2(\mu-\text{RCOO}-\kappa^1,\kappa^1)_2(\mu-\text{RCOO}-\kappa^1,\kappa^2)_2\}$  в  $23_{\text{Ln}}$  (в). Три позиции молекул phen показаны оттенками серого (С) и синего (N). Атомы водорода не показаны.

Соединения **22** и **23** в случае европия(III) и тербия(III) интенсивно люминесцируют в типичной для данных катионов красной и зеленой областях, соответственно, с квантовыми выходами от 46 до 59%. МОКП иттрия(III) люминесцируют в синей области, характерной для интралигандной эмиссии 2,2'-бипиридила и фенантролина, которая закономерно реализуется в данном случае, так как катион  $\text{Y}^{3+}$  имеет пустые *d*- и *f*-оболочки, и для него нехарактерен перенос энергии по какому-либо из типичных для люминесценции механизмов. При этом соединение **22Y** с 2,2'-бипиридилом люминесцирует с квантовым выходом до 63%, что является уникальной величиной для иттриевых координационных полимеров. Разупорядочение молекулы фенантролина в **23Y** приводит к снижению квантового выхода более чем в 25 раз (см. таблицу 7), что также является необычным примером сильного влияния слабо выраженных структурных особенностей на люминесценцию практических изоструктурных соединений.

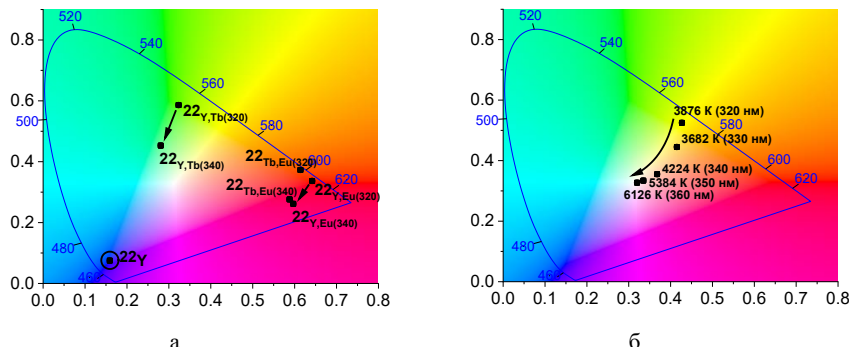
Таблица 7

**Квантовые выходы эмиссии  $22_{\text{Ln}}$  и  $23_{\text{Ln}}$**

	$22_{\text{Y}}$	$22_{\text{Eu}}$	$22_{\text{Tb}}$
<b>QY, %</b>	63	46	59
	$23_{\text{Y}}$	$23_{\text{Eu}}$	$23_{\text{Tb}}$
<b>QY, %</b>	2.3	55	49

Высокие квантовые выходы эмиссии для изоструктурных соединений серии  $22_{\text{Ln}}$  и наличие трех основных цветов RGB-матрицы позволили исследовать люминесценцию смешаннометаллических образцов для получения люминофоров с другими цветами эмиссии. При использовании смеси солей РЗМ(III) в синтезе и последующем анализе продуктов методом ИСП-МС (см. таблицу 8) было установлено, что ионы  $\text{Ln}^{(III)}$  входят в гетерометаллические фазы без предпочтительного включения какого-либо из них. Исследование люминесцентных свойств биметаллических образцов показало (рис. 10а), что европий(III) и тербий(III) при возбуждении светом с длиной волн 320 нм

значительно тушат синюю компоненту эмиссии, что подразумевает перенос энергии по диполь-дипольному механизму не только внутри биядерного блока, но и между ними. Наблюдаемый относительный вклад в цветность  $\text{Eu}^{3+} > \text{Tb}^{3+} >> \text{Y}^{3+}$ (bpy) согласуется с литературными данными, из которых известно, что  $\text{Eu}^{3+}$  является наиболее сильным акцептором энергии среди катионов лантаноидов, а  $\text{Tb}^{3+}$  – вторым по силе [7,8]. Для иона d-элемента  $\text{Y}^{3+}$  данный перенос энергии нехарактерен. При этом с ростом длины волны возбуждения наблюдается увеличение вклада синей полосы, соответствующей интралигандной эмиссии, в цвет люминесценции биметаллических образцов.



**Рис. 10.** Диаграммы цветности в координатах CIE 1931 для биметаллических образцов  $22_{\text{Ln}}$  (а) и триметаллического образца  $22_{\text{Y,Eu,Tb}}$  (б). В скобках указана длина волны возбуждающего света (нм).

Для достижения белого цвета эмиссии был синтезирован триметаллический образец. При мольном отношении солей иттрия, европия и тербия около 80:5:15, подобранным с учетом выявленного взаимного тушения полос, получено соединение  $22_{\text{Y,Eu,Tb}}$ . Тенденция на увеличение вклада синей полосы эмиссии с ростом  $\lambda_{\text{возб}}$  наблюдается и для данного образца (рис. 10б), цвет эмиссии которого изменяется от желтого (при длине волны возбуждающего света 320 нм) до практически идеально белого (при  $\lambda_{\text{возб}} = 360$  нм) с квантовым выходом 20% (табл. 9). Рассчитанное для  $\lambda_{\text{возб}} = 360$  нм значение эффективной цветовой температуры составляет около 6100 К и практически совпадает с данным показателем для естественного солнечного света. Полученные результаты показывают универсальность соединений серии  $22_{\text{Ln}}$  как многоцветных люминофоров, в том числе с белой эмиссией, пригодных для использования в люминесцентных источниках света.

#### Таблица 8

Детали синтеза и состав смешаннометаллических образцов серии  $22_{\text{Ln}}$

Соед.	Соотношение $\text{Ln}(\text{III})$ при синтезе (мольн.)	Соотношение $\text{Ln}(\text{III})$ в твердом продукте (мольн.)*	Окончательный состав
$22_{\text{Y,Eu}}$	0.5 Y : 0.5 Eu	0.49 Y : 0.51 Eu	$[\text{Y}_{0.97}\text{Eu}_{0.03}(\text{bpy})_2(\text{chdc})_3]$
$22_{\text{Y,Tb}}$	0.5 Y : 0.5 Tb	0.51 Y : 0.49 Tb	$[\text{Y}_{1.03}\text{Tb}_{0.97}(\text{bpy})_2(\text{chdc})_3]$
$22_{\text{Eu,Tb}}$	0.5 Eu : 0.5 Tb	0.53 Eu : 0.47 Tb	$[\text{Eu}_{1.06}\text{Tb}_{0.94}(\text{bpy})_2(\text{chdc})_3]$
$22_{\text{Y,Eu,Tb}}$	0.80 Y + 0.05 Eu + 0.15 Tb	0.84 Y : 0.04 Eu : 0.12 Tb	$[\text{Y}_{1.68}\text{Eu}_{0.08}\text{Tb}_{0.24}(\text{bpy})_2(\text{chdc})_3]$

\*Установлено по данным ИСП-МС анализа.

**Квантовые выходы эмиссии триметаллического образца  $22_{\text{Y},\text{Eu,Tb}}$  при различных длинах волнны возбуждения**

$\lambda_{\text{ex}}, \text{ нм}$	QY( $22_{\text{Y},\text{Eu,Tb}}$ ), %
320	73
330	43
340	41
350	30
360	20

### ЗАКЛЮЧЕНИЕ

Таким образом, алициклический или алифатический остов лиганда является источником уникальных свойств и структурных особенностей металл-органических координационных полимеров. Его повышенная гидрофобность влияет на строение кристаллизующихся продуктов через уменьшение сродства к воде, а опосредованно через строение – и на люминесцентные, сорбционные, магнитные свойства. Природа данных лигандов напрямую обеспечивает такие свойства, как низкое оптическое поглощение и конформационное дыхание полимерных решеток, при этом из последнего вытекают как сложность их синтеза, так и потенциальное огромное структурное многообразие. Перспективой развития темы, помимо широкого систематического скрининга условий синтеза и условий фазовых переходов, является применение к данным объектам современных физических методов спектроскопии ЯМР и ЭПР в твердом теле, *in situ* дифракции, рентгеновской абсорбционной и *in situ* ИК-спектроскопии. Информация, получаемая данными методами, позволит существенно улучшить понимание процессов кристаллизации из сложных систем с конформационно подвижными компонентами, фазовых переходов, в т.ч. с обратимой аморфизацией, процессов адсорбции на алифатической поверхности.

### ОСНОВНЫЕ РЕЗУЛЬТАТЫ И ВЫВОДЫ

- Синтезирован 41 новый координационный полимер на основе мостиковых органических лигандов, содержащих алициклический остов. Для 36 полученных МОКП установлены кристаллические структуры методом РСА. Функциональные свойства соединений охарактеризованы широким набором физико-химических методов, включая спектры люминесценции и диффузного отражения, магнитные измерения, измерения изотерм адсорбции газов и паров.
- Проанализированы факторы, влияющие на состав и структуру металл-органических каркасов с *транс*-1,4-циклогександикарбоновой кислотой ( $\text{H}_2\text{chdc}$ ) и 1,4-диазабицикло[2.2.2]октан- $N,N'$ диоксидом ( $\text{odabco}$ ). Оптимизированы условия реакций (кислотность среды, природа и состав растворителя, темплатный эффект) для направленного получения определенных топологических и конформационных изомеров в этих системах. Впервые осуществлена кристаллизация двух конформационных изомеров металл-органического каркаса на основе конформационно лабильной  $\text{H}_2\text{chdc}$  путем варьирования условий синтеза.

3. Впервые получен ряд координационных полимеров на основе odabco с цинком(II) и марганцем(II), не содержащих других мостиковых лигандов. Показано, что для соединений Zn(II) с odabco характерно тетраэдрическое окружение, искажающееся в сторону тригонально-бипирамидального при наличии в координационной сфере ацетатиона, а для соединений Mn(II) с odabco характерно октаэдрическое окружение.
4. Проведено исследование координационных полимеров на основе Zn(II) с мостиковыми chdc<sup>2-</sup> и odabco методом спектроскопии диффузного отражения. Показан минимальный уровень поглощения света в видимой и ближней УФ-областях вплоть до  $\lambda = 270$  нм, слабо зависящее от кристаллического строения координационного каркаса.
5. Для соединений  $[\text{Ln}_2(\text{bpy})_2(\text{chdc})_3] \cdot \text{xH}_2\text{O}$  ( $\text{bpy} = 2,2'$ -бипиридин) и  $[\text{Ln}_2(\text{phen})_2(\text{chdc})_3] \cdot \text{xG}$  ( $\text{phen} = 1,10$ -фенантролин) выявлена интенсивная фотолюминесценция в синей ( $\text{Ln}^{3+} = \text{Y}^{3+}$ ), красной ( $\text{Ln}^{3+} = \text{Eu}^{3+}$ ) и зеленой ( $\text{Ln}^{3+} = \text{Tb}^{3+}$ ) областях с высокими квантовыми выходами до 63%. В соединениях с  $\text{Eu}^{3+}$  и  $\text{Tb}^{3+}$  ароматический хелатный лиганд играет роль эффективного фотосенсибилизатора («антенны»), а для соединений с  $\text{Y}^{3+}$  — одновременно и поглощающим и излучательным центром, причем интенсивность и квантовый выход люминесценции связаны с наличием разупорядочения лиганда-антенны.
6. Путем анализа спектров люминесценции семейства соединений  $[\text{Ln}_2(\text{bpy})_2(\text{chdc})_3]$  со смешанным гетерометаллическим составом ( $\text{Ln}^{3+} = \text{Y}^{3+}, \text{Eu}^{3+}, \text{Tb}^{3+}$ ) установлена зависимость относительного вклада катионов в излучаемый цвет ( $\text{Eu}^{3+} > \text{Tb}^{3+} >> \text{Y}^{3+}$ ) и продемонстрирована возможность целенаправленного варьирования цвета эмиссии соединения. Получен белый люминофор с цветовой температурой 6126 К и квантовым выходом 20% при возбуждении светом с длиной волны  $\lambda = 360$  нм.
7. Для металло-органического каркаса  $[\text{Zn}_2(\text{chdc})_2(\text{dabco})]$  ( $\text{dabco} =$  диазабицикло[2.2.2]октан) исследована структурная динамика, сопровождающая процессы гостевого обмена, активации и адсорбции паров углеводородов. Обнаружены ступенчатые переходы, связанные с частичным или полным изменением конформации  $(e,e) \leftrightarrow (a,a)$  мостиковых лигандов chdc<sup>2-</sup> с обратимым восстановлением кристалличности фазы. Количество адсорбированных паров бензола при 298 К достигает 125 мл/г (5.58 ммоль/г), что превосходит большинство известных значений для микропористых координационных полимеров.
8. В процессах адсорбции газов  $\text{N}_2$ ,  $\text{CO}_2$  и  $\text{CH}_4$  активированное соединение  $[\text{Zn}_2(\text{chdc})_2(\text{dabco})]$  проявляет свойства структурно жесткого и перманентно пористого сорбента с удельным объемом пор 0.31 мл/г и площадью поверхности 705  $\text{m}^2/\text{г}$  (модель БЭТ), что превышает другие известные значения для пористых МОКП на основе мостикового лиганда chdc<sup>2-</sup>. Рассчитанные значения теплоты адсорбции различных газов и факторов селективностей адсорбции бинарных смесей согласуются с алифатической природой соединения и отсутствием специфических адсорбционных центров.

#### **Основное содержание диссертации изложено в следующих работах:**

- Demakov, P. A., Poryvaev, A. S., Kovalenko, K. A., Samsonenko, D. G., Fedin, M. V., Fedin, V. P., Dybtsev, D. N., Structural Dynamics and Adsorption Properties of the Breathing Microporous Aliphatic Metal–Organic Framework // Inorg. Chem. – 2020. – V. 59, No. 21. – P. 15724–15732.
- Demakov, P. A. Bogomyakov, A. S., Urlukov, A. S., Andreeva, A. Y., Samsonenko, D. G., Dybtsev, D. N., Fedin, V. P. Transition Metal coordination polymers with trans-1,4-

- cyclohexanedicarboxylate: Acidity-controlled synthesis, structures and properties // Materials. – 2020. – V.13, No. 2. – P. 486.
3. Demakov, P. A.; Romanov, A. S.; Samsonenko, D. G.; Dybtsev, D. N.; Fedin, V. P., Synthesis and structure of manganese(ii) coordination polymers with 1,4-diazabicyclo[2.2.2]octaneN, N'-dioxide: solvent and template effects // Russ. Chem. Bull. – 2020. – V. 69, No. 8. – P. 1511–1519. [3. Демаков, П. А., Романов, А. С., Самсоненко, Д. Г., Дыбцев, Д. Н., Федин, В. П., Синтез и строение координационных полимеров марганца(II) с N,N'-диоксидом 1,4-диазабицикло[2.2.2]октана: влияние растворителя и темплатов // Изв. АН. Сер. Хим. – 2020. – Т. 69, № 8. – С. 1511–1519].
  4. Demakov, P. A., Sapchenko, S. A., Samsonenko, D. G., Dybtsev, D. N., Fedin, V. P., Gadolinium Break in a Series of Three-Dimensional trans-1,4-Cyclohexane Dicarboxylates of Rare Earth Elements // J. Struct. Chem. – 2019. – V. 60, No. 5. – 815–822. [4. Демаков, П. А., Сапченко, С. А., Самсоненко, Д. Г., Дыбцев, Д. Н., Федин, В. П., Гадолиниевый излом в ряду трехмерных транс-1,4-циклогександикарбоксилатов редкоземельных элементов // Журн. Структур. Хим. – 2019. – Т. 60, №5. – С. 849 – 856].
  5. Demakov, P. A., Sapchenko, S. A., Samsonenko, D. G., Dybtsev, D. N., Fedin, V. P., Coordination polymers based on zinc(ii) and manganese(ii) with 1,4-cyclohexanedicarboxylic acid // Russ. Chem. Bull. – 2018. – V. 67, No. 3. – P. 490–496. [5. Демаков, П. А., Сапченко, С. А., Самсоненко, Д. Г., Дыбцев, Д. Н., Федин, В. П., Координационные полимеры на основе цинка(II) и марганца(II) с 1,4-циклогександикарбоновой кислотой // Изв. АН. Сер. Хим. – 2018. – Т. 67, № 3. – С. 490–496].
  6. Demakov, P. A., Yudina, Yu. A., Samsonenko, D. G., Dybtsev, D. N., Fedin, V. P., Crystal Structure of Zinc Coordination Polymers Based on 1,4-diazabicyclo[2.2.2]octane N,N'-dioxide: Effect of Hydrophobicity of Carboxylate Ligands // J. Struct. Chem. – 2021. – V. 62. – P. 403–411. [6. Демаков, П. А., Юдина, Ю. А., Самсоненко, Д. Г., Дыбцев, Д. Н., Федин, В. П., Кристаллическая структура координационных полимеров цинка на основе N,N'-диоксида 1,4-диазабицикло[2.2.2]октана: влияние гидрофобности карбоксилатных лигандов // Журн. Структур. Хим. – 2021. – Т. 62, №3. – С. 429 – 438].
  7. Демаков П.А. Координационные полимеры на основе транс-1,4-циклогександикарбоновой кислоты – строение, структурная динамика и свойства // Международная научная конференция студентов, аспирантов и молодых учёных «Ломоносов-2018». 9-13 апреля 2018 г. – Москва, 2018.
  8. Демаков П.А. Координационные полимеры лантаноидов с транс-1,4-циклогександикарбоновой кислотой – строение, эффекты дыхания и функциональные свойства // Международная научная конференция студентов, аспирантов и молодых учёных «Ломоносов-2019». 8-12 апреля 2019. – Москва, 2019. С. 451.
  9. Pavel A. Demakov, Danil. N. Dybtsev. Functional Trans-1,4-cyclohexanedicarboxylate Metal-Organic Frameworks // 14th International Symposium on Macroyclic and Supramolecular Chemistry «ISMSC-2019». 2-6 June 2019. – Lecce, Italy, 2019. P. P108.
  10. P.A. Demakov, A.S. Romanov, D.N. Dybtsev. 1,4-DIAZABICYCLO[2.2.2]OCTANE DI-N-OXIDE AS A PERSPECTIVE LIGAND FOR CATIONIC METAL-ORGANIC FRAMEWORKS // XI International Conference on Chemistry for Young Scientists «Mendeleev – 2019». 9-13 September 2019. – Saint-Petersburg, 2019. P. 52.

11. Pavel A. Demakov, Danil. N. Dybtsev. Functional Trans-1,4-cyclohexanedicarboxylate MOFs // 3rd International Conference on Metal Organic Frameworks and Porous Polymers «EuroMOF-2019», 27- 30 October 2019. – Paris, France, 2019. P. P37.
12. Демаков П.А. Люминесцентные металл-органические каркасы с алифатическими дикарбоксилатными мостиками // Международная научная конференция студентов, аспирантов и молодых учёных «Ломоносов-2021». 12-23 Апреля 2021. – Москва, 2021.

#### **Список использованной литературы:**

- [1] Hon, P. K., Mak, T. C. W., Isolation and crystal structures of 1:3 molecular complexes of triethylenediamineN,N'-dioxide with hydrogen peroxide and water // J. Crystallogr. Spectrosc. Res. – 1987. – V. 17. – P. 419–429.
- [2] Dybtsev, D. N., Chun, H., Kim, K., Rigid and flexible: A highly porous metal-organic framework with unusual guest-dependent dynamic behavior // Angew. Chem. Int. Ed. – 2004. – V. 43, No. 38. – P. 5033–5036.
- [3] Bueken, B., Vermoortele, F., Cliffe, M. J., Wharmby, M. T., Foucher, D., Wieme, J., Vanduyfhuy, L., Martineau, C., Stock, N., Taulelle, F., Van Speybrouck, V., Goodwin, A. L., De Vos, D., A Breathing Zirconium Metal-Organic Framework with Reversible Loss of Crystallinity by Correlated Nanodomain Formation // Chem. Eur. J. – 2016. – V. 22, No. 10. – P. 3264–3267.
- [4] Niekiel, F., Ackermann, M., Guerrier, P., Rothkirch, A., Stock, N., Aluminum-1,4-cyclohexanedicarboxylates: High-Throughput and Temperature-Dependent in Situ EDXRD Studies // Inorg. Chem. – 2013. – V. 52, No. 15. – P. 8699–8705.
- [5] Bueken, B., Vermoortele, F., Vanpoucke, D. E. P., Reinsch, H., Tsou, C.-C., Valvekens, P., De Baerdemaeker, T., Ameloot, R., Kirschhock, C. E. A., Van Speybrouck, V., Mayer, J. M., De Vos, D., A Flexible Photoactive Titanium Metal-Organic Framework Based on a [TiIV<sub>3</sub>(μ<sub>3</sub>-O)(O)<sub>2</sub>(COO)<sub>6</sub>] Cluster // Angew. Chem. Int. Ed. – 2015. – V. 54, No. 47. – P. 13912–13917.
- [6] Lannoeye, J., Van de Voorde, B., Bozbiyik, B., Reinsch, H., Denayer, J., De Vos, D., An aliphatic copper metal-organic framework as versatile shape selective adsorbent in liquid phase separations // Microporous Mesoporous Mater. – 2016. – V. 226. – P. 292–298.
- [7] Allendorf, M. D., Bauer, C. A., Bhakta, R. K., Houk, R. J. T., Luminescent metal-organic frameworks // Chem. Soc. Rev. – 2009. – V. 38, No. 5. – P. 1330–1352.
- [8] Cui, Y., Yue, Y., Qian, G., Chen, B., Luminescent functional metal-organic frameworks // Chem. Rev. – 2012. – V. 112, No. 2. – P. 1126–1162.

**Благодарности.** Автор благодарит коллектив лаборатории металл-органических координационных полимеров и всех соавторов за помошь в повседневной работе и обсуждении результатов. Отдельно автор выражает благодарность научному руководителю д.х.н. Дыбцеву Данилу Николаевичу за помошь в формулировании целей и задач, обсуждении и подготовке публикаций. Центру коллективного пользования ИНХ СО РАН за проведение экспериментов по физико-химической характеризации образцов. В заключение, автор глубочайше признателен учителю химии Гимназии №1 Ю.В. Лапиной за не слишком строгое следование рамкам школьной программы, которое позволило на раннем этапе осознать удивительную внутреннюю красоту и упорядоченность этой науки.

ДЕМАКОВ Павел Андреевич

**МЕТАЛЛ-ОРГАНИЧЕСКИЕ КООРДИНАЦИОННЫЕ ПОЛИМЕРЫ С  
АЛИЦИКЛИЧЕСКИМИ МОСТИКАМИ: СТРОЕНИЕ, СИНТЕЗ И  
СВОЙСТВА**

Автореферат диссертации на соискание ученой степени  
кандидата химических наук

Подписано в печать 23.06.2021 г. Печать офсетная.  
Бумага офсетная. Формат 60x84 1/16. Усл. печ. 1,5 л  
Тираж 150 экз. Заказ № 659

Отпечатано в типографии «АЛЕКСПРЕСС»  
ИП Малыгин Алексей Михайлович  
630090, Новосибирск, пр-т Академика Лаврентьева, 6/1, оф.104  
Тел. (383) 217-43-46